

родном хозяйстве. - В кн.: Сборник статей по законченным науч.-исслед. работам Ин-та геологии и геохимии горючих ископаемых АН УССР (1977). Вып. 9, с. 67-75. - Рукопись деп. в ВИНИТИ 15 июня 1978 г., № 1979-78 деп.

7. Порфір"ев В.В., Грінберг И.В., Ладженський М.Р. та інші. Мелітнівські сланці Карпат. - Київ: Вид-во АН УРСР, 1963. - 207 с.

8. Зелизна С.Т., Пляков Я.П., Козаков С.Б., Баранова Г.И. Некоторые особенности распределения химических элементов в аргиллитах миньковецкого горизонта Среднего Приднестровья. - Геология и геохимия горючих ископаемых, 1975, вып. 44, с. 71-78.

9. Страхов Н.М., Волков И.И., Лисицина Н.А. К познанию механизма распределения элементов в Тихом океане (Японский профиль). - Литология и полез. ископаемые, 1973. - № 3, с. 3 - 29.

10. Rankama K., Sahama T.G. - Geochemistry. - Chicago Univ. Press, 1949. - 456 p.

УДК 552.1:551.763(477.9)

А.В. Диденко

ЛИТОЛОГО-ГЕОХИМИЧЕСКАЯ ХАРАКТЕРИСТИКА ГЛИНИСТЫХ ОТЛОЖЕНИЙ НИЖНЕГО МЕЛА РАВИННОГО КРЫМА

Значительный интерес в последнее время представляют так называемые черные сланцы в связи с промышленным применением их как низкосортного топлива, а также с проблемой нефтегазообразования.

При решении ряда важных вопросов, связанных с условиями накопления органического вещества (ОВ), особого внимания заслуживает исследование черных аргиллитов нижнего мела Равнинного Крыма. Вопросы, связанные с исследованием литологии и фациальных особенностей этих отложений, рассмотрены в работах [5-7, 10]. Однако до настоящего времени изучение ОВ и глинистых минералов в основном проводилось раздельно. Комплексное исследование этих субстанций позволит уточнить некоторые представления о природе ОВ глинистых отложений, выявить общие закономерности его накопления и преобразования в процессе литогенеза, а также откроет новые перспективы в понимании процессов нефтегазообразования.

Объектом изучения явились глинистые отложения апт-альбского возраста, широко развитые на территории Равнинного Крыма. Описываемые породы представляют собой алевроитовые и алевроитистые аргиллиты в основном черного цвета, плотные, крепкие. Черный цвет аргиллитов обусловлен присутствием дисперсного ОВ, равномерно распределенного в основной массе породы. Нередко наблюдается переслаивание аргиллитов с алевролитами. Аргиллиты слабо и неравномерно-известковистые, с глубокой кремнистостью. Часто они включают линзы алевролитов. Вещающие алевролиты хлоритово-гидрослюдистого состава. Обломочный материал составляет 5-20 %, участками до 60 %, и представлен кварцем. Изредка

наблюдаются зерна полевого шпата и обломки слюды. Согласно микроскопическому изучению, структура их в основном пелитовая и алевропелитовая, обусловленная параллельным чередованием участков, в различной степени обогащенных кластическим материалом и цементом. Границы между пелитовыми и алевролитовыми слоями не всегда четкие. Повсеместно наблюдается примесь пирита и обугленных растительных остатков. Основная масса пород сложена тонкоагрегатным кремнисто-глинистым материалом, местами с существенной примесью микрозернистого кальцита. В цементе имеется точечное распределение ОВ. Породы разбиты разнонаправленными трещинами, которые выполнены тонкодисперсным глинисто-рудным веществом. Тяжелая фракция, выделенная из аргиллитов, состоит из пирита - 90 - 100 %.

Рентгенометрическое изучение проводилось с целью выяснения состава глинистого вещества аргиллитов. В связи с этим были изготовлены из фракций мельче 0,001 мм препараты ориентированных чешуек глинистых минералов.

Судя по данным рентгенометрического исследования фракций мельче 0,001 мм, в составе глинистого вещества аргиллитов апт-альба Равнинного Крыма преобладает гидрослюда. Она встречается повсеместно и нередко является главным глинистым минералом. Кроме гидрослюда, в их составе присутствуют каолинит и хлорит, иногда смешанослойные неупорядоченные сростки гидрослюда и монтмориллонита.

Аргиллиты горизонта А-20 из разреза Татьяновской площади (гл. 4373 - 4376 и 4398 - 4402 м) на дифрактометрических кривых воздушно-сухого препарата фракций мельче 0,001 мм характеризуются интенсивным симметричным рефлексом гидрослюда.

На дифрактометрической кривой, кроме рефлексов гидрослюда, отмечаются сильный рефлекс 0,7 - 0,71 нм и менее интенсивные отражения 0,35 нм, которые после прокаливания образца до 600 °С исчезают, что характерно для каолинита. Соответственно более слабые рефлексы 1,38-1,42 нм и 0,47 нм на дифрактограмме принадлежат хлориту.

На дифрактограммах ориентированных препаратов аргиллитов из разреза Задорненской площади (гл. 4226-4236 м) установлены аналогичные рефлексы, что свидетельствует о близком составе глинистого вещества аргиллитов.

Дифрактометрические кривые фракций мельче 0,001 мм образцов, отобранных выше по разрезу (Татьяновская площадь, гл. 4117-4120 м, горизонт А-19), характеризуются наличием базальных рефлексов гидрослюда (1,0; 0,5; 0,333 нм) и четких симметричных рефлексов каолинита (0,71; 0,358 нм). Рефлекс при 0,333 нм очень интенсивный, очевидно, из-за накладки рефлекса кварца.

Т а б л и ц а 1. Результаты спектральных анализов аргиллитов апт-альбского яруса равнинного Крыма

Место взятия образца	Микроэлементы, %											
	Ni	Mn	Cr	V	Cu	Sa	Zr	Str	Ba	Co	Mo	Ag
Татьяновская- 8, 4379 - 4383 м	8,5 ⁻³	2,0 ⁻²	1,38 ⁻²	1,48 ⁻²	1,65 ⁻³	2,5 ⁻³	1,45 ⁻²	2,4 ⁻²	5,8 ⁻²	1,8 ⁻³	2,0 ⁻⁴	2,6 ⁻⁵
Крестьянов- ская-1, 3367 - 3373 м	6,2 ⁻³	1,15 ⁻²	1,0 ⁻²	7,3 ⁻³	1,0 ⁻³	1,0 ⁻³	6,2 ⁻³	1,1 ⁻²	3,9 ⁻²	5,3 ⁻⁴	2,3 ⁻⁴	2,7 ⁻⁵
Татьяновская- 7, 4352 - 4355 м	1,28 ⁻²	7,3 ⁻³	1,05 ⁻²	1,15 ⁻²	1,62 ⁻³	1,64 ⁻³	1,14 ⁻²	1,4 ⁻²	3,3 ⁻²	2,3 ⁻³	2,5 ⁻⁴	3,0 ⁻⁵
Клепиковская- 1, 2006 - 2013 м	1,0 ⁻²	2,45 ⁻²	7,5 ⁻³	1,15 ⁻²	1,65 ⁻³	1,6 ⁻³	1,0 ⁻²	1,05 ⁻²	5,8 ⁻²	1,4 ⁻³	1,3 ⁻³	4,7 ⁻⁵
Клепиковская-1, 2000 - 2006 м	1,0 ⁻²	2,45 ⁻²	8,2 ⁻³	1,45 ⁻²	4,1 ⁻³	1,85 ⁻³	8,9 ⁻³	1,42 ⁻²	7,8 ⁻²	1,2 ⁻³	5,3 ⁻⁴	7,8 ⁻⁵
Авдоровская-1, 4536 - 4591 м	6,0 ⁻³	1,95 ⁻²	1,8 ⁻²	8,9 ⁻³	2,25 ⁻³	2,3 ⁻³	1,3 ⁻²	8,3 ⁻³	6,1 ⁻²	8,9 ⁻⁴	2,1 ⁻⁴	3,2 ⁻⁵
Крестьянов- ская-1, 3363 - 3367 м	9,5 ⁻³	2,3 ⁻²	1,45 ⁻²	1,48 ⁻²	4,1 ⁻³	1,9 ⁻³	8,3 ⁻³	4,8 ⁻²	8,95 ⁻²	1,8 ⁻³	3,5 ⁻⁴	4,5 ⁻⁵
Борисовская-2, 4674 - 4683 м	7,0 ⁻³	6,0 ⁻²	1,2 ⁻²	2,1 ⁻²	2,0 ⁻³	2,3 ⁻³	9,5 ⁻³	2,3 ⁻²	4,2 ⁻²	2,3 ⁻³	4,8 ⁻⁴	3,5 ⁻⁵

Примечание: Анализ выполнен в ИГи АН УССР. Аналитик О.П.Фариов.

На дифрактометрических кривых аргиллитов из разреза Северо-Серебрянской площади (гл. 4366-4440 м, горизонт А-18) фиксируется первый базальный рефлекс гидрослюда, который асимметричен с максимумом в одних случаях при 1,0 нм, в других - при 0,98 нм. В первом случае гидрослюда более гидратирована, чем во втором. На некоторых дифрактометрических кривых отмечаются смешанослойные неупорядоченные сростки гидрослюда с монтмориллонитом. В то же время дифрактограммы аргиллитов, отобранных выше по разрезу (Северо-Серебрянская площадь, гл. 3570-3748 м, горизонт А-17), характеризуются четкими симметричными рефлексивами гидрослюда (0,98 нм) и каолинита (0,7 - 0,69 нм).

Т а б л и ц а 2. Содержание органического углерода в аргиллитах апт-альбского возраста равнинного Крыма

Площадь, связки	Интервал глубин, м	C _{орг.} %
Татьяновская-5,	3872 - 3875	1,474
Татьяновская-8,	4423 - 4431	0,526
	4371 - 4373	0,942
Татьяновская-7	4070 - 4073	1,351
	3958 - 3960	0,758
	3866 - 3869	0,937
Борисовская-2	4661 - 4666	0,761
Крестьянская-4	3772 - 3784	1,481
	3651 - 3657	1,243
	3654 - 3659	1,827
	3363 - 3367	1,354
	3772 - 3784	0,760
Клепининская-1	2006 - 2013	1,450
Задорненская-5	4226 - 4236	1,459

Примечание: Анализы выполнены в ОП ИГи АН УССР. Аналитик И.Ю.Юрвич.

Таким образом, с глубиной наблюдается последовательная смена состава глинистых минералов: гидрослюда - смешанослойные образования гидрослюда с монтмориллонитом - гидрослюда - каолинит - гидрослюда - каолинит - хлорит, что указывает на категенетическую преобразованность пород.

Редкие и рассеянные элементы. Глинистые отложения апт-альбского яруса содержат микроэлементы в пределах кларковых и ниже кларковых количествах. Иногда наблюдается локальное повышение содержаний отдельных микроэлементов (табл.1). Повышенное содержание ванадия (выше кларковых количеств) связано, очевидно, с высокими концентрациями органического вещества и свидетельствует о более восстановительных условиях в осадках на стадии диагенеза (район Борисовской площади и др.).

Распределение органического углерода. Анализ геохимических материалов показал, что содержание $C_{орг}$ в породах колеблется значительно: от 0,526 до 4,450 %, хотя в основном прослеживается общая закономерность накопления ОВ, сформулированная Н.Б.Вассовичем. Так, для различных типов пород [1] рассчитаны субкламки $C_{орг}$: глины - 0,9 %; алевролиты - 0,45 %; песчаники - 0,2 %; карбонатные породы - 0,2 %. Сопоставление содержаний $C_{орг}$ в породах показывает, что аргиллиты характеризуются наличием $C_{орг}$ в концентрациях 0,649 - 0,912 % (табл.2). С глубиной содержание $C_{орг}$ увеличивается до 4,243-4,481 %. Установленная закономерность не всегда выдерживается. Не всегда также устанавливается прямая зависимость содержания $C_{орг}$ от литотипа породы.

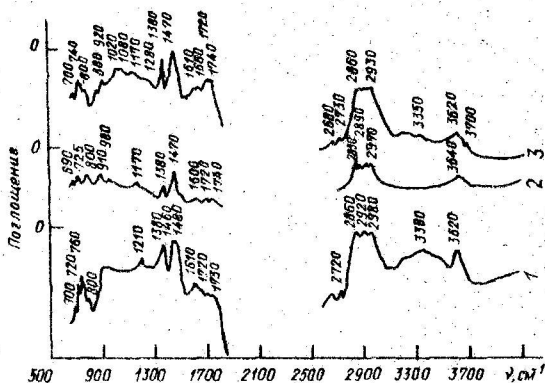
Сравнение наших данных с литературными указывает на значительное сходство полученных результатов: по Б.А.Шестопалу с авторами [2], содержание $C_{орг}$ в глинах и аргиллитах альбского яруса составляет 0,5-1,5 %, в песчаниках и алевролитах - 0,2-0,8 %.

Судя по микроскопическому описанию, увеличение содержания $C_{орг}$ с глубиной в исследуемых породах зависит от увеличения в них содержания литового материала, а основным фактором, определяющим накопление ОВ, является фациальный.

Б и т у м о и д в О В. Тип люминесценции (свечение в голубых и белесо-голубых тонах в ультрафиолетовом свете) хлороформенного битумоида, согласно типизации В.Н.Флоровской [1], указывает на наличие легкого (ЛБА) и маслянисто-смолястого битумоида (ЖБА). По данным Б.М.Полуховича и Б.А.Шестопала [2], в глинах и аргиллитах содержится до 0,01-0,2 % хлороформенного битумоида. Установленную зависимость концентраций $C_{орг}$ и степени битуминизации от содержания нерастворимого остатка в породах нижнего мела они объясняют сингенетической битуминозностью. Однако кроме сингенетического битумоида имеется и сингенетичный битумоид. Об этом свидетельствуют природа заполнения порового пространства, пустот и разнонаправленных трещин.

ИК-спектрометрическое изучение хлороформенного битумоида, экстрагированного из аргиллитов, позволило проследить особенности в изменении их состава. Полученные ИК спектры отличаются в основном интенсивностями полос поглощения и дополнительными экстремумами (рис.1). (ИК спектрометрические кривые записаны на приборе ИР-20 в области длин волн 400-4000 $см^{-1}$. Аналитик Л.Н.Мамчур).

Так, в строении хлороформенного экстракта, извлеченного из аргиллитов (Крестьяновская площадь), принимают участие алициклические соединения с высоким содержанием CN_2 группы (интенсивные экстремумы полос поглощения в области 4460, 2860, 2930 $см^{-1}$), а также группы



ИК спектры хлороформенных битумоидов, извлеченных из аргиллитов ант-альбского яруса Равнинного Крыма:

1 - Крестьяновская площадь, скв.1, интервал глубин 3763 - 3772 м; 2 - Татьянаовская площадь, скв.8, интервал глубин 4379 - 4383 м; 3 - Клепининская площадь, интервал глубин 2318 - 2326 м.

CH_3 (интенсивный экстремум при 1380 см^{-1}) с незначительным количеством длинных парафиновых цепей (при 720 см^{-1}). Для структуры битумоида характерно очень низкое содержание кислородных соединений с группой $\text{C}=\text{O}$ алифатических эфиров (очень слабо выражены экстремумы при $1720, 1730 \text{ см}^{-1}$). Мало характерны ароматические структуры. На спектре фиксируются очень слабые экстремумы полос поглощения в области $700, 800, 910 \text{ см}^{-1}$, а также средней интенсивности экстремум в области 1600 см^{-1} .

На ИК-спектре хлороформенного битумоида, извлеченного из аргиллитов разреза Татьяновской площади, фиксируются экстремумы полос поглощения в области длин волн, указанных выше, но при этом значительно отличается интенсивностью полос поглощения. Кроме того, на спектре имеется очень слабо выраженная полоса поглощения с экстремумом при 1170 см^{-1} (связь $\text{C}-\text{C}$) и при 3640 см^{-1} (валентные колебания группы OH).

В то же время на спектре хлороформенного битумоида из разреза Клепининской площади в области $1020, 1080$ и $1170, 1280 \text{ см}^{-1}$ появляется несколько очень слабо выраженных полос поглощения, которые могут быть отнесены к присутствию связей $\text{C}-\text{S}$ (сульфоукислоты - при $1040, 1080 \text{ см}^{-1}$) и связей $\text{S}-\text{O}-\text{C}$ (при 1170 см^{-1}) связи $\text{C}-\text{O}$ (при 1270 см^{-1}).

Судя по результатам ИК спектрометрических исследований, битумоид носит миграционный характер, а незначительное содержание арома-

тических структур и наличие поглощения в области 1270, 1600 см⁻¹ указывает на сапропелевый и гумусово-сапропелевый тип ОВ невысоких стадий катагенетической превращенности.

По данным Е.А. Глебовской [3], какую-то долю ароматических структур может содержать и битумоид часто сапропелевого ОВ, и эта доля будет возрастать при миграционных потерях легких, преимущественно метанового состава компонентов. Присутствие гумусового начала оценивается по ароматичности битумоида (при 1600 см⁻¹).

Соотношение аутигенно-минералогических форм Fe. С целью выяснения геохимической обстановки на стадии диagenеза изучалось соотношение химических элементов переменной валентности. Расчет реакционноспособных форм железа проводился по [4], используя результаты химических анализов*. Содержание сульфидной серы в породах колеблется в пределах 0,3 - 0,74% (табл.3). При этом содержание в аргиллитах $Fe_{НС2}^{+2}$ составляет 1,825%; $Fe_{НС3}^{+3}$ - 0,722%. Содержание пиритного железа в аргиллитах составляет 0,472% или 15,3% в целом от $Fe_{реакц.}$ (средний - верхний альб, Татъя-

Т а б л и ц а 3. Форма железа в аргиллитах Равнинного Крыма

Площадь, свалкина, глубина, м	Возраст	Содержание форм железа на пороку, %			Содержание форм железа от $Fe_{реакц.}$		$Fe_{пир}$	Сорг	
		Fe^{+2}	Fe^{+3}	$Fe_{реакц}$	$Fe_{пир}$	$Fe_{пир}^{+3}$			
									%
Борисовская-2, 4661 - 4666	Верхний алт-нижний альб	0,227	1,404	0,654	2,286	10	61,5	28,2	0,3
Татьяновская-5, 3872 - 3875	Альб	0,263	1,388	0,678	2,329	11,2	59,1	20,5	0,2
Татьяновская-7, 3866 - 3869	Средний-верхний альб	0,472	1,825	0,772	3,069	15,3	59,0	20,5	0,5
Татьяновская-7, 4070 - 4073	То же	0,647	2,379	1,148	4,144	15,6	57,0	23,0	0,47
Косельновская-1, 3651 - 3657	Верхний алт-нижний альб	0,490	2,769	1,076	4,385	11,0	66,5	24,0	0,4

* Химические анализы выполнены в ИГи АН УССР. Аналитик Б.П. Грабчак.

новская площадь). Значения соотношений R_p пир к $C_{орг}$ обычно колеблются в пределах от 0,2 до 0,5, что является характерным для морских пород [9].

Результаты исследований показали, что в позднеаптское-раннеальбское время характерными были слабовосстановительные условия седиментационного бассейна. В то же время с погружением седиментационного бассейна в альбское время геохимические условия изменились с преобладанием переходной от слабовосстановительной до восстановительной и восстановительной геохимических обстановок.

Таким образом, в стадию диагенеза основными были слабовосстановительные и восстановительные геохимические обстановки, которые способствовали накоплению высоких концентраций ОВ сапропелевого и гумусово-сапропелевого типа.

Отложение глинистых осадков происходило в основном в умеренно-глубоководном и глубоководном бассейнах седиментации.

1. Вассович Н.Б. Основные закономерности, характеризующие органическое вещество современных и ископаемых осадков. - М.: Наука, 1973, с.11 - 59.

2. Шестопап Б.А., Шевченко Е.Ф., Карпенко Г.М., Кнороз В.Д. Геолого-геохимическая характеристика органического вещества нижнемеловых отложений Равнинного Крыма в связи с проблемой нефтегазообразования. - В кн.: Новые данные по геологии и нефтегазоносности УССР. - Львов, 1974, вып.9, с.74 - 80.

3. Глебовская Е.А. Применение инфракрасной спектрометрии в нефтяной геохимии. - Д.: Недра, 1971. - 140 с.

4. Корчагина Ю.И., Четверикова О.П. Методы интерпретации аналитических данных о составе рассеянного органического вещества. - М.: Недра, 1980. - 228 с.

5. Богаец А.Т., Орлова-Турчина Г.А., Проснякова Л.В., Самарская Е.В. К палеогеографии центральной и западной частей Равнинного Крыма в неокомское и аптское время. - Труды УкрНИГРИ, 1972, вып.30, с. 77 - 84.

6. Богаец А.Т., Бойчук Г.В., Лешух Р.И., Менкес М.А. Новые данные о неокомских, аптских и нижнеальбских отложениях северной половины северо-западного Крыма. - В кн.: Вопросы геологии нефтегазоносных провинций. Киев: Наук.думка, 1979, с.82 - 89.

7. Полухтович Б.М., Шестопап Б.А. Основные комплексы и зоны образования углеводородов. - В кн.: Прогноз поисков нефти и газа на юге УССР и на прилегающих акваториях. - М.: Недра, 1981, с.117 - 133.

8. Савицина А.А., Столяр Л.Н. Литологическая характеристика и коллекторские свойства карбонатно-глинисто-кремнистых пород Джанкойской структуры (Крым). - Вопросы литологии и петрографии, 1973, кн.2, с.91 - 94.

9. Страхов Н.М., Залманзон Э.С. Распределение аутигенно-минералогических форм железа в осадочных породах и их значения для литологии. - Изв. АН СССР. Сер.геол., 1955, № 1, с.31 - 51.

10. Григорьева В.А., Каменецкий А.Е., Павлик М.И., Палинский Р.В., Плахотный Л.Г. Фациальные особенности и перспективы нефтегазоносности меловых отложений юга Украины. - Киев: Наук.думка, 1981. - 138 с.

11. Флоровская В.Н. Люминесцентно-битуминологический метод изучения и поисков нефтяных месторождений. - М.: Гостоптехиздат, 1954. - 88 с.

ЗРК 4438-11-86 [1]
Л646

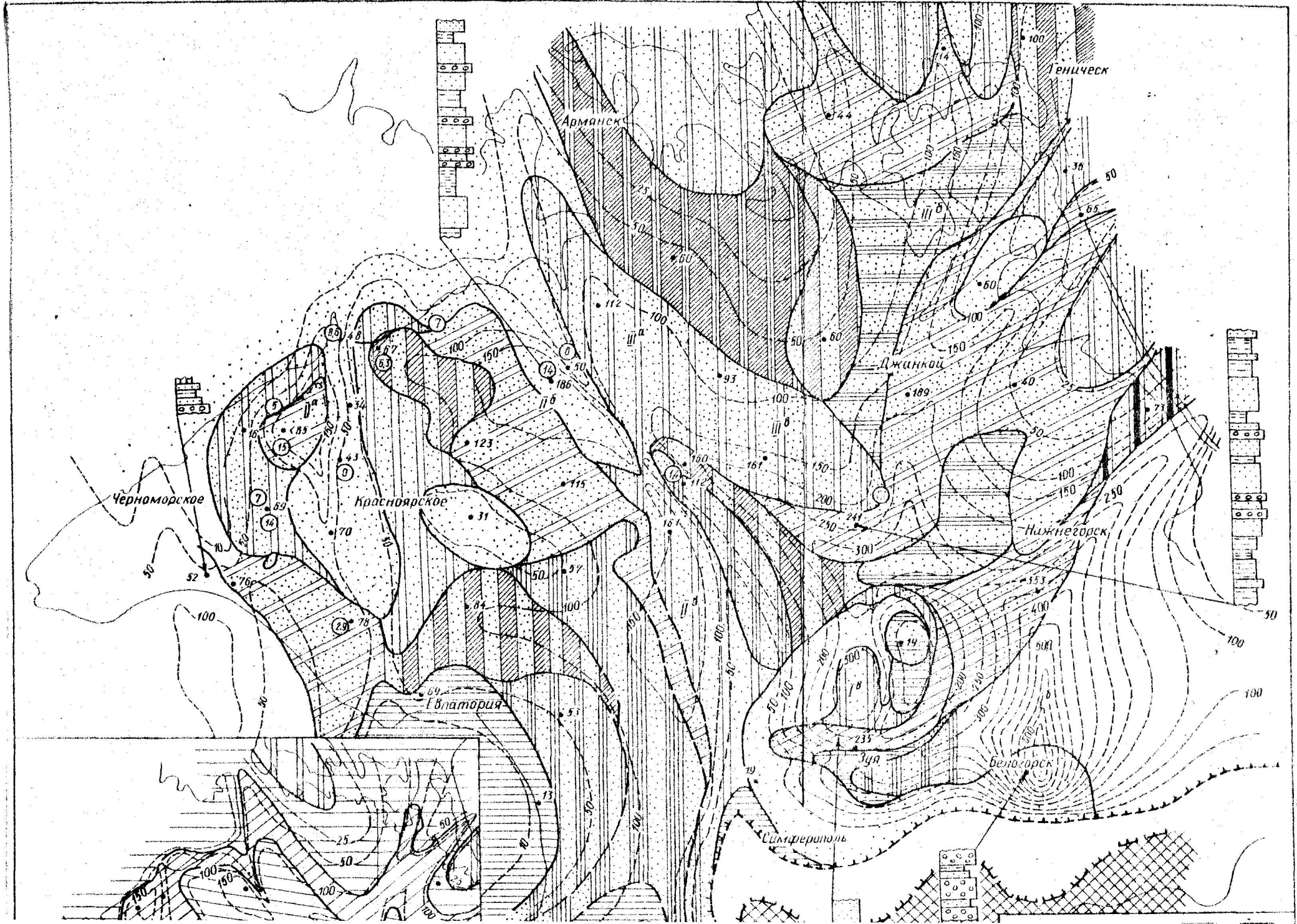




Рис. 2. Литолого-фациальная схема нижнемеловых отложений Равнинного Крыма и Тавриашья (базальный горизонт готерив-альба):
 1 - область выхода на поверхность отложений древнее рассматриваемого комплекса. Литофациальные комплексы (соответственно классификации):
 2 - песчаный, 3 - песчаный с прослоями алевроита и глины, 4 - алевроглинисто-песчаный, 5 - глинисто-алевритопесчаный, 6 - алевроитовый,
 7 - алевроитовый с прослоями песка и глины, 8 - песчано-глинисто-алевритовый, 9 - глинисто-песчано-алевритовый, 10 - глинистый, 11 - гли-
 нистый с прослоями песка и алевроита, 12 - песчано-алевритово-глинистый, 13 - алевроитопесчано-глинистый, 14 - преимущественно алевроитопесча-
 ный, 15 - преимущественно глинисто-алевритовый, 16 - преимущественно песчано-глинистый, 17 - смешанный глинисто-алевритопесчаный (при рав-
 ном соотношении), 18 - карбонатность пород (?). Границы: 19 - современного распространения отложений, 20 - предполагаемой береговой линии,
 21 - литофациальных зон (а - установленные, б - предполагаемые), 22 - изопачиты; 23 - поисково-разведочные скважины и мощность отложений
 (м). Толщеобразующие компоненты (разрезы): 24 - конгломераты и гравелиты, 25 - пески и песчаники, 26 - алевроиты, 27 - аргиллиты, 28 -
 карбонатные породы. Возраст отложений базального горизонта (время): 29 - позднеготерив-раннебаремский, 30 - позднеготерив-равнеаптский,
 31 - позднебаррем-раннеаптский, 32 - аптский, 33 - позднеаптско-среднеальбский. Депрессии: I^A - Зуйская, II^A - Бакальская, II^B - Татьянов-
 ская, II^B - Красновская, III^A - III^B - Ильинско-Клепининская, III^D - Сивашская, I^A - восточная периклиналь Гераклинского прогиба, I^D - западная
 периклиналь Белогорского прогиба. Литофациальные участки: I - Качиноко-Зуйско-Нижегородский, II - Бакальско-Татьяновско-Красновский, III -
 Ильинско-Клепининско-Сивашский.

АКАДЕМИЯ НАУК УКРАИНСКОЙ ССР
ИНСТИТУТ ГЕОЛОГИИ И ГЕОХИМИИ
ГОРЮЧИХ ИСКОПАЕМЫХ

Литогенез и полезные ископаемые

СБОРНИК НАУЧНЫХ
ТРУДОВ

КИЕВ НАУКОВА ДУМКА 1986

ЗРК
Л646

1
- П

п. ср

УДК 552.5/477/

Литогенез и полезные ископаемые: Сб. науч. тр. / Ю.Н.Сеньковский
(отв. ред.). - Киев: Наук. думка, 1986. - 224 с.

Освещаются вопросы литологии, минералогии и геохимии осадочных образований и связанных с ними полезных ископаемых Украины и смежных регионов. Исследуется влияние процессов литогенеза на образование и размещение отдельных типов отложений и связанных с ними полезных ископаемых. Рассмотрены процессы постседиментационного изменения пород нефтегазосных и угленосных провинций, литологические и геохимические особенности фосфоритосных и сероносных отложений мезозой-кайнозойского возраста. Освещаются обстановка древнего седиментогенеза и роль мелового апвеллинга в развитии отдельных типов седиментации в карпатско-крымской части Мезотетиса.

Для специалистов в области исследования осадочных пород и связанных с ними полезных ископаемых.

Редакционная коллегия

Ю.Н.Сеньковский (ответственный редактор), М.П.Габинет, Д.В.Гуржий,
Н.В.Демченко (ответственный секретарь), А.Е.Киселев, К.П.Козлова

НАУЧНАЯ БИБЛИОТЕКА
м. Горького
МГУ

4438-44-86

Редакция информационной литературы

Handwritten signatures and stamps, including a box with '07' and the number '03'.

Л 1904050000-453 285-86
М221(04)-86

© Издательство "Наукова думка", 1986